

## 一、前言

於第一部份藉波譜分析方法對亞洲區域高空波動特性之研究一文中已提出，以言亞洲區域高空波動特性必須同時考慮下述數項重要之強迫因素（forcing factors）即：

- (1) 廣大陸海分佈所造成之溫差對比——此每可藉亞洲高壓所造成週期性寒潮空氣潰流 (polar air outbreak) 或稱季風湧動 (monsoon surge) 作為指示器 (indicator)。

(2)伸展至對流層中之廣大青康藏高原之影響——其影響係多方面者。包括動力 (dynamic) 热力 (thermodynamic) 及機械 (mechanical) 性影響。關於此筆者已作初步之專題分析 (王時鼎, 1976)。

(3)熱帶太平洋區域正壓效應 (barotropic effect) — 在 Holton (1972) 「大氣動力學概要」第十二章之因次分析中，已曾論及，在無降水之熱帶區域最接近正壓大氣之性質。而高空極地西風 (polar westerlies)，特以冬半年具有高度之斜壓狀態者，一旦移至熱帶太平洋區域，必將遭受激烈變化。特以臺灣係在中低緯度交界之處，故該項效應，殊難漠視。

(4) 亞洲中緯沿海噴射氣流效應——西藏高原造成亞洲區域之西風分流，但此兩支西風復又於下游方向匯合，兼之熱力風效應，而使沿東海岸外造成全球最强之噴射氣流，而此進而復影響高空波動及地面氣旋波波幅之放大。

如以相同緯度線不同點上之高空時間序列資料，取樣作波譜分析 (spectral analysis)，以求出各點上不同頻率之波動動能大小及其隨空間變化 (各特定點上)，上述各效應，則可作出統計上之決定。此亦為本研究第一部份：「藉波譜分析對亞洲區域高空波動特性之研究」之目的。但此係就「現象」所得之「結果」，屬概括性者。有上述之指

示後，如再以天氣圖作為研判依據，則更俱實際預報之意義，此亦為此處研究之目的。必須說明，因題目大廣，故選擇最為重要之特性作為分析研究之對象。

## 二、在不同「區域環流指標」下亞洲高空波動之特性

由於全球性「西風環流指標」(westerlies circulation index)並不能明確關聯「區域環流」(sector circulation)之特徵。故筆者(1975)曾專作出亞洲區域 $70^{\circ}$ — $160^{\circ}$ E之間之 $35^{\circ}$ — $55^{\circ}$ N緯度之500mb層「區域環流指標」(sector circulation index)，及求出十年之統計。並作廣泛的與天氣圖及天氣關係之調查。發現深可作亞洲區域無論高空及地面環流特徵之代表。故此處之討論，則係根據該項分類。延用資料為1975年元月至二月共兩個月者。何以應用該時間之資料，在本研究第二部份「藉傅氏分析法對亞洲及太平洋區域超長波特性之研究」中，已略說明。為便於相互比較，且過去筆者對高空環流特性研究(1975)，亦曾引用該時日之例。故此處仍延用該時期之資料，藉可供相互參證。以下茲依據，區域環流指標(S.C.I.)不同，以探討之。

### (+) 高指標環流下亞洲區域 500mb 層波動特徵

(1)就波長言——波長長短不居，但波幅則甚小。例如：1975年2月1日12Z 500mb圖，其波長竟達 $90^{\circ}$  經度（在 $45^{\circ}$ 線上）。其環流指標值參見圖1，其天氣圖則見圖2。另外，例如圖3所示之1975

(2)就移速及强度言——槽線運動速度穩定，強度變化亦小。且甚少受亞洲東海岸溫差之強迫（forcing）影響。實際此時均無強寒潮。雖沿海有地面波動發展，但均有顯著東移速度。此處茲以圖4，1975年元月19—25日，自新疆移出之槽線為例

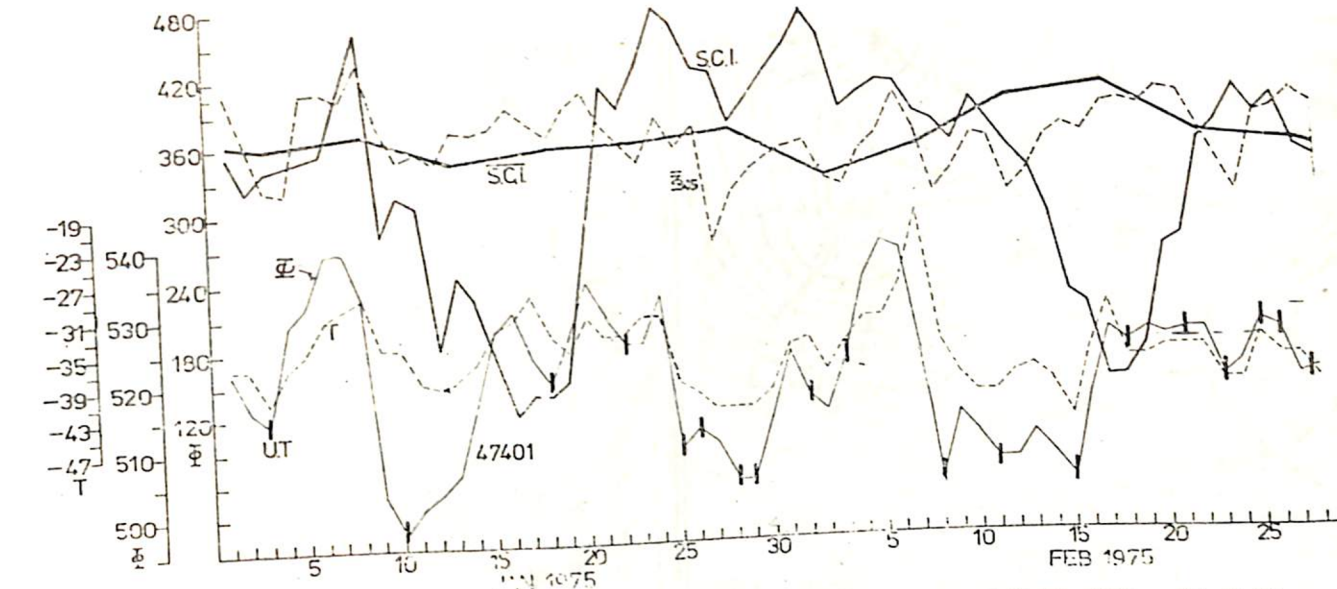


圖 1. 1975 年元月 1 日至 2 月 28 日亞洲區域 500mb 層西風環流指標 (數) (S.C.1),  
45°N 線上平均等高線 ( $\bar{P}$ )，以及日本北海道 401 測站 500mb 層高度 ( $\Phi$ ) 與  
溫度 (T) 逐日變化圖 (並附槽線過境日期)。圖中粗實線為平均環流指標值。

。圖中繪出逐日槽線位置，地面波動中心位置及強度，以及鋒面位置。另並繪出元月22日 12Z 波動在日本東方近海時之 500mb 天氣圖如圖 5。藉上資料可見，雖臺灣波伴生有冷平流且顯見加深，但終以缺乏「穩定」之寒冷季風以爲助力 (forcing)，故高空波動雖過東海岸，而不加深。

(1)就波長言——於低指標時，往往均為長波。1975年元月10日12Z 500mb圖，提供一甚佳之例（見圖6）。在該例 $45^{\circ}$ 經度線上之波長達100度經度( $40^{\circ}$ — $140^{\circ}$ E)，該時之環流指標值見圖1。

(2)就移速及强度言——在亞洲區域高指標與低指標環流型式之界野，每僅於槽線移至亞洲沿海時才顯出。此亦即言，由於沿海槽之發展，方形成低

$$\left( \nabla^2 + \frac{f_0^2}{\sigma} - \frac{\partial^2}{\partial p^2} \right) \chi = -f_0 \vec{V} g \cdot \nabla \left( \frac{1}{f_0} \nabla^2 \phi + f \right) + \frac{f_0^2}{\sigma} \frac{\partial}{\partial p} \left( -\vec{V} g \cdot \nabla \frac{\partial \phi}{\partial p} \right)$$

如無冷暖空氣平流，則(C)項等於零，即一地渦度，亦即高度變化( $\chi$ )，僅受渦度平流影響。高空波動既不增強亦不減弱，僅係隨地轉風以平流。此實際亦即上述高指標情形下高空波動之特性。而何以波動在亞洲沿海才轉為低指標型式，即因(C)項之介入。低層因溫度較低之季風氣流進入，致等壓面層厚度下降，而使槽線加深。於槽線

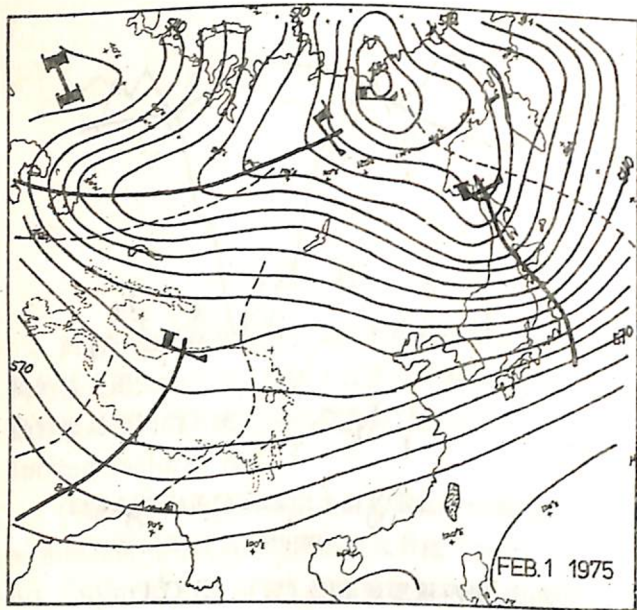
指標（數）環流。圖 7 所示即為，1975 年元月 3 日位於西歐槽線東移，迄至 8 日移至亞洲沿海，以海岸區斜壓效應，槽線加深造成低指標之例。藉圖可見低指標環流下高空波動最主要特徵為：

- (a) 槽線在亞洲沿海轉為緩移或甚至滯留不動。
  - (b) 槽線增強，實際所表現者為波幅增大，波槽變潤，槽線長度向南增加，以及低壓中心出現顯著封閉環流。
  - (c) 當槽線移至沿海時，高空西風與其上之波動同時具有顯著偏南之分力。

(2) 亞洲區域高低環流指標轉變與高空波動之發展  
(1) 由高轉低——以上討論已孕含指標轉變問題，此可藉準地轉式理論之重力位趨勢方程作最佳之描述。該方程可寫之如下：

$$\left( \nabla^2 + \frac{f_0^2}{\sigma} - \frac{\partial^2}{\partial p^2} \right) \chi = -f_0 \vec{V} g \cdot \nabla \left( \frac{1}{f_0} \nabla^2 \phi + f \right) + \frac{f_0^2}{\sigma} \frac{\partial}{\partial p} \left( -\vec{V} g \cdot \nabla \frac{\partial \phi}{\partial p} \right)$$

後方有繼續不斷冷空氣貫入，致如上述，槽線在沿海滯留，波幅增大，並變濶。以上所引述之例（圖7），筆者並經作傅氏分析（王時鼎 1976），證實係由於波數為 4,5 及 6 ( $N=4,5$  及 6) 之洛士貝波動，在沿海加深造成。與上藉重力位趨勢方程所作結論一致。注意此時  $N=1,2$  及 3 之超長波，波幅並不增大，反略有減小趨勢，因此時可用位能（



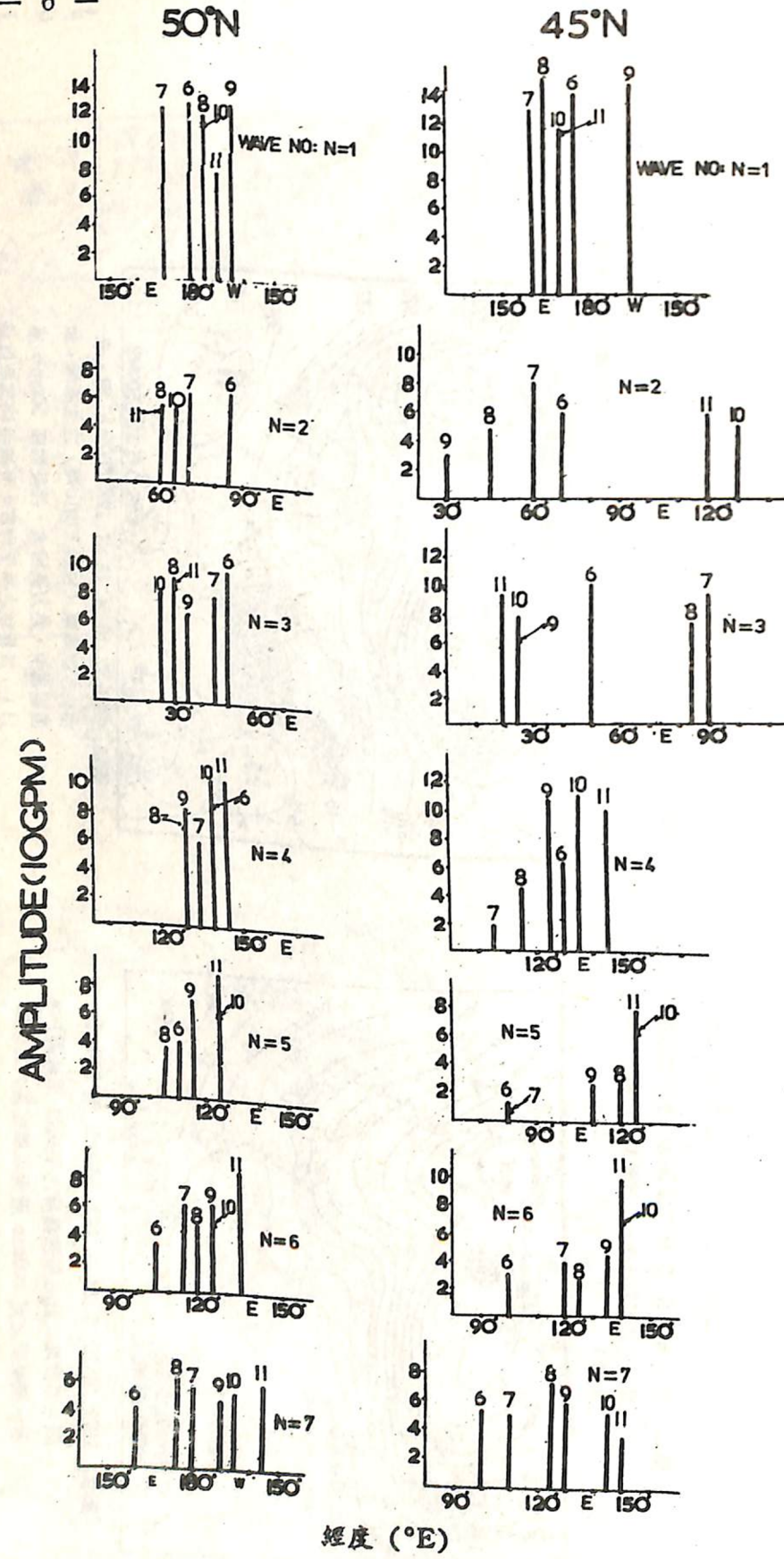


圖8. 1975年1月6~10日高空波動在沿海顯着發展期間（參見圖6及7），藉傅氏分析法所求得波數由1至7波動在亞洲區域之槽線位置及波幅逐日變化圖（引自王時鼎1976）。

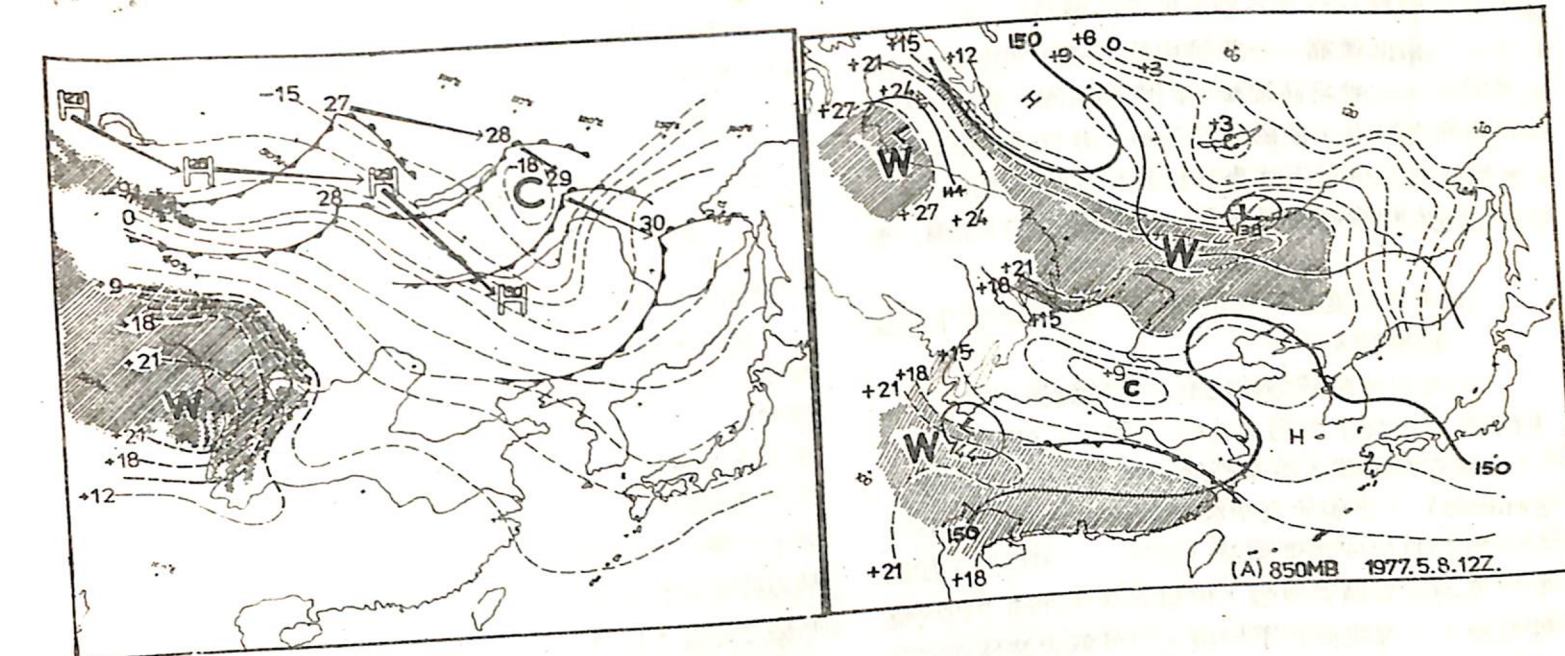


圖11. 1973年9月30日700mb等溫線圖。並附  
27日至30日850mb之鋒面及其後之冷高  
壓動態，示西藏高原「熱源」影響之一斑。

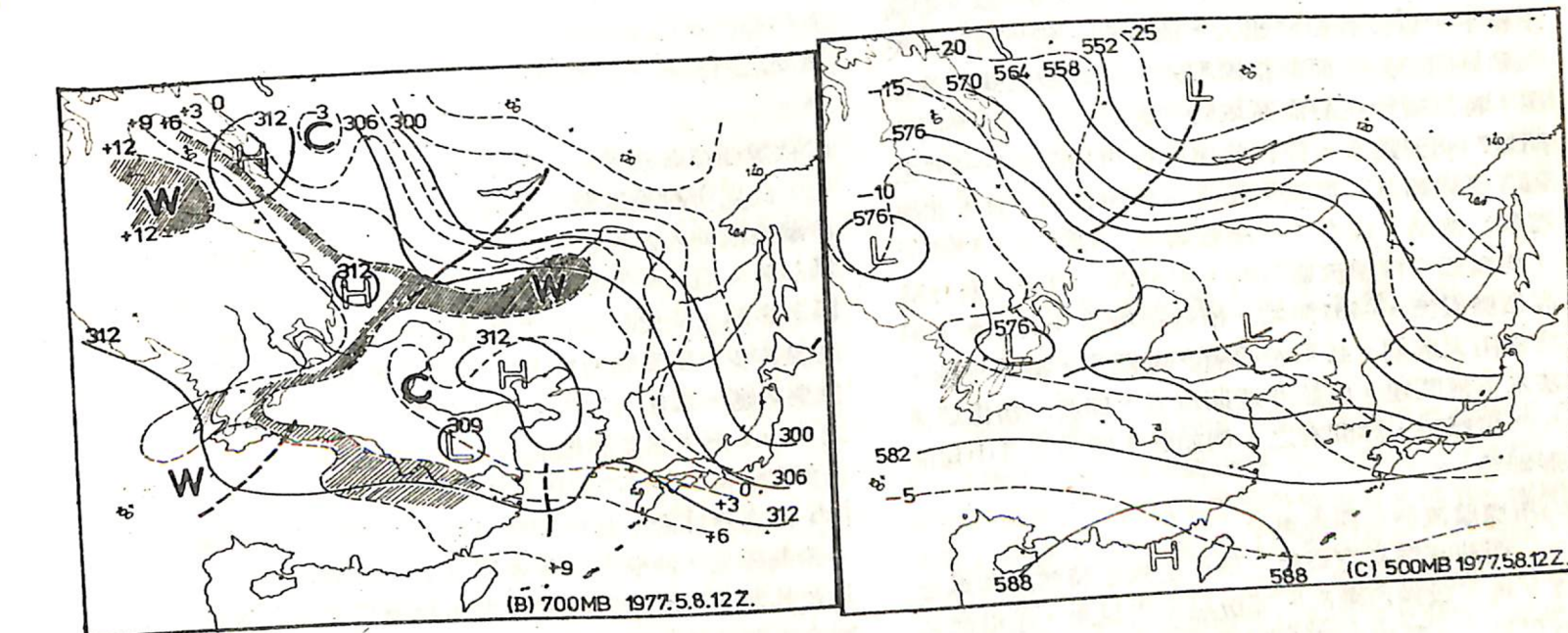


圖12. 1977年5月8日12Z之天氣圖。示春季期間差異增溫對亞洲區域環流之影響——  
雙熱源造成雙支西風。圖中(a)850mb, (b)700mb, (c)500mb圖。



— 10 —

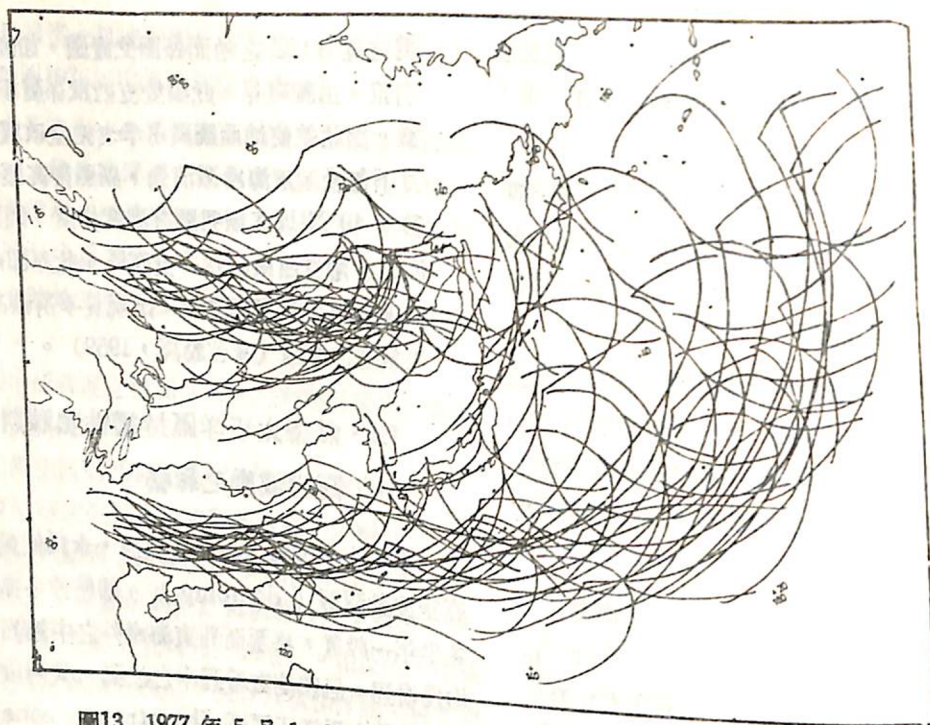


圖13. 1977年5月1~31日之逐日12Z之地面鋒面位置圖。示春季期間中國區域差異增溫造成地面圖上之雙支鋒面型式。

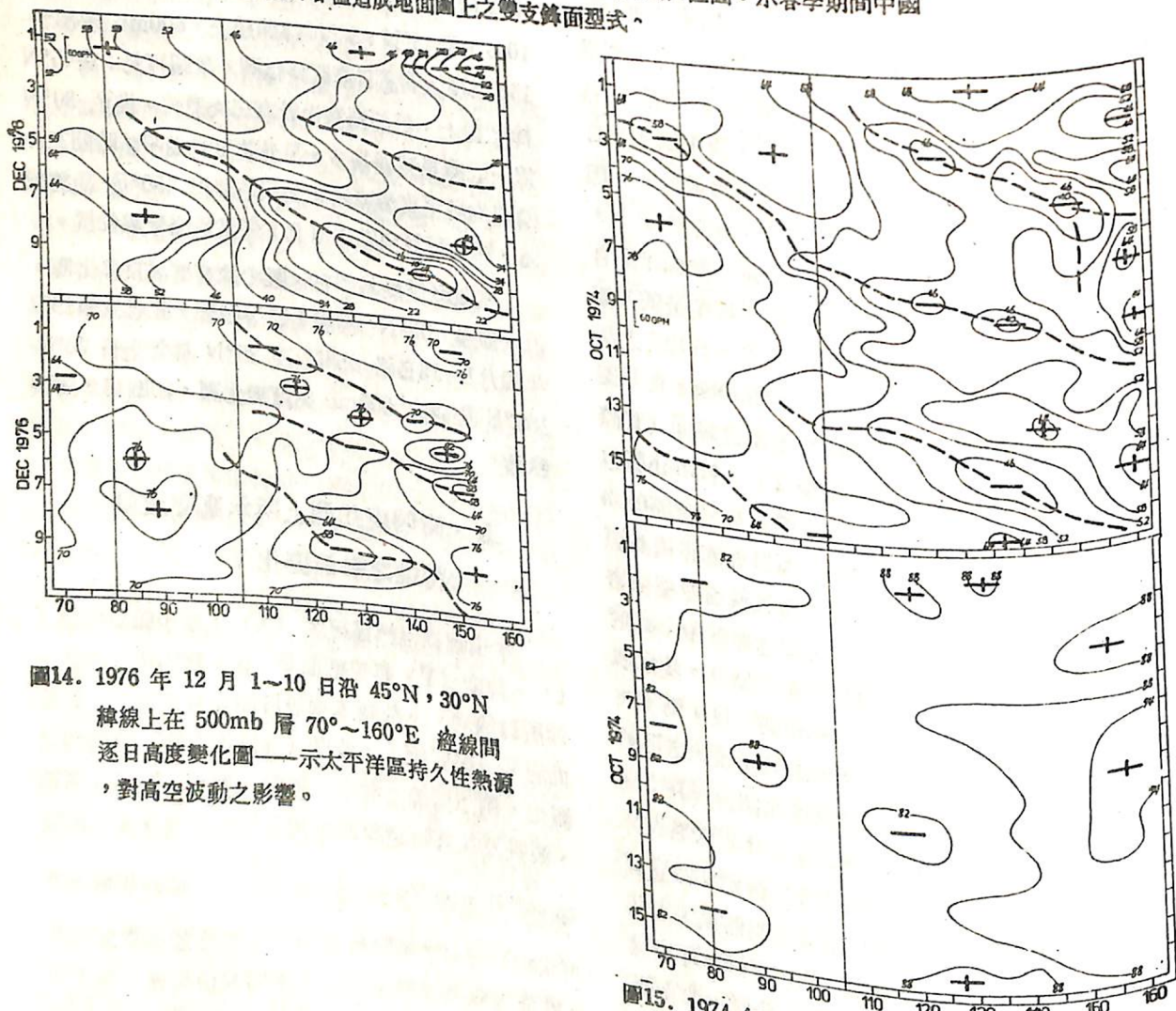


圖14. 1976年12月1~10日沿 $45^{\circ}\text{N}$ ,  $30^{\circ}\text{N}$ 緯線上在500mb層 $70^{\circ}\sim 160^{\circ}\text{E}$ 經線間逐日高度變化圖——示太平洋區持久性熱源，對高空波動之影響。

圖15. 1974年10月1~16日沿 $45^{\circ}\text{N}$ 及 $30^{\circ}\text{N}$ 緯線上自 $70^{\circ}\sim 160^{\circ}\text{E}$ 經線間之500mb高度變化圖——示秋季太平洋高壓對高空波動之影響。

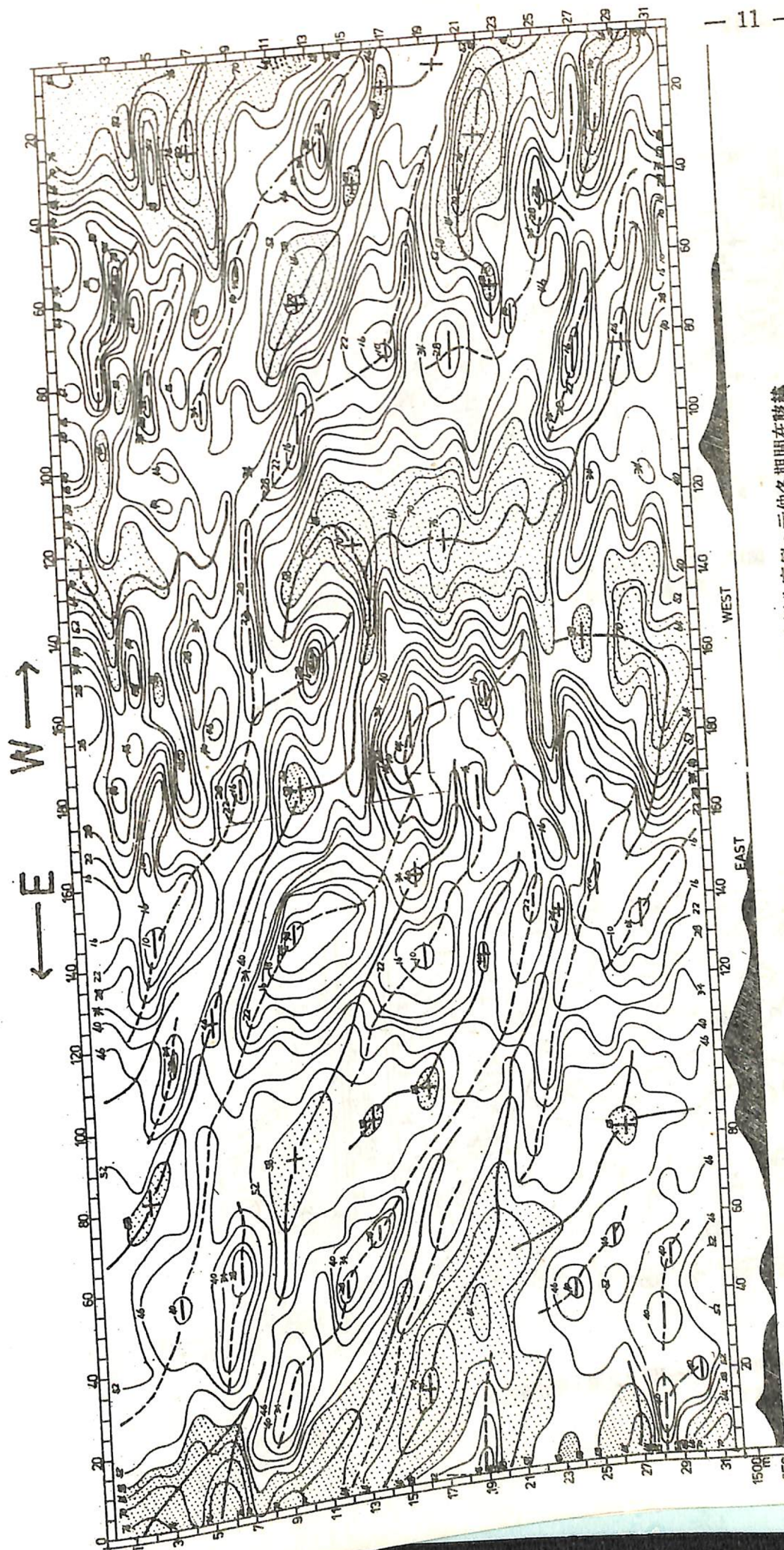


圖16. 1975年元月全月，沿 $45^{\circ}\text{N}$ 緯線上全球500mb層高度變化實例。示仲冬期間在該緯度帶上，波動易於發展之區域。圖中“—”表槽之符號，粗斷線表槽逐日位置。

— 12 —

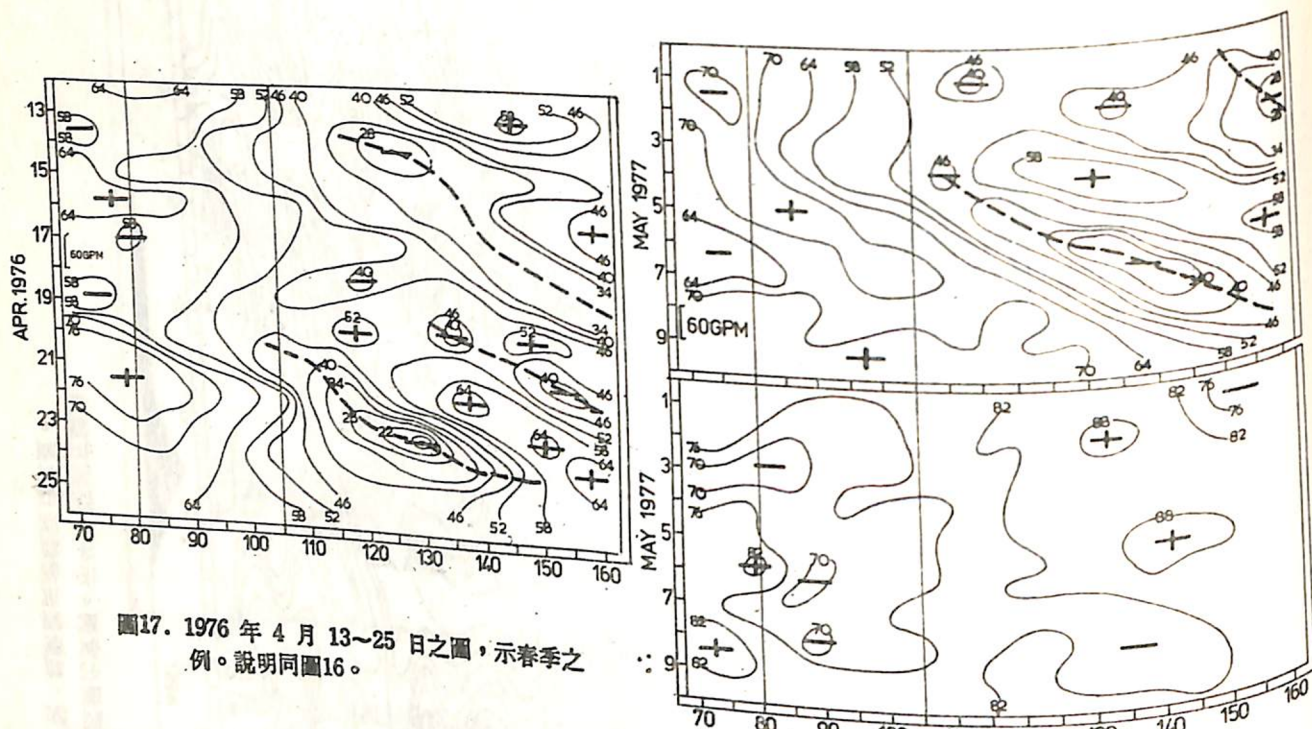


圖17. 1976年4月13~25日之圖，示春季之例。說明同圖16。

圖18. 1977年5月1~9日之圖，示初夏之例。  
說明同圖16。

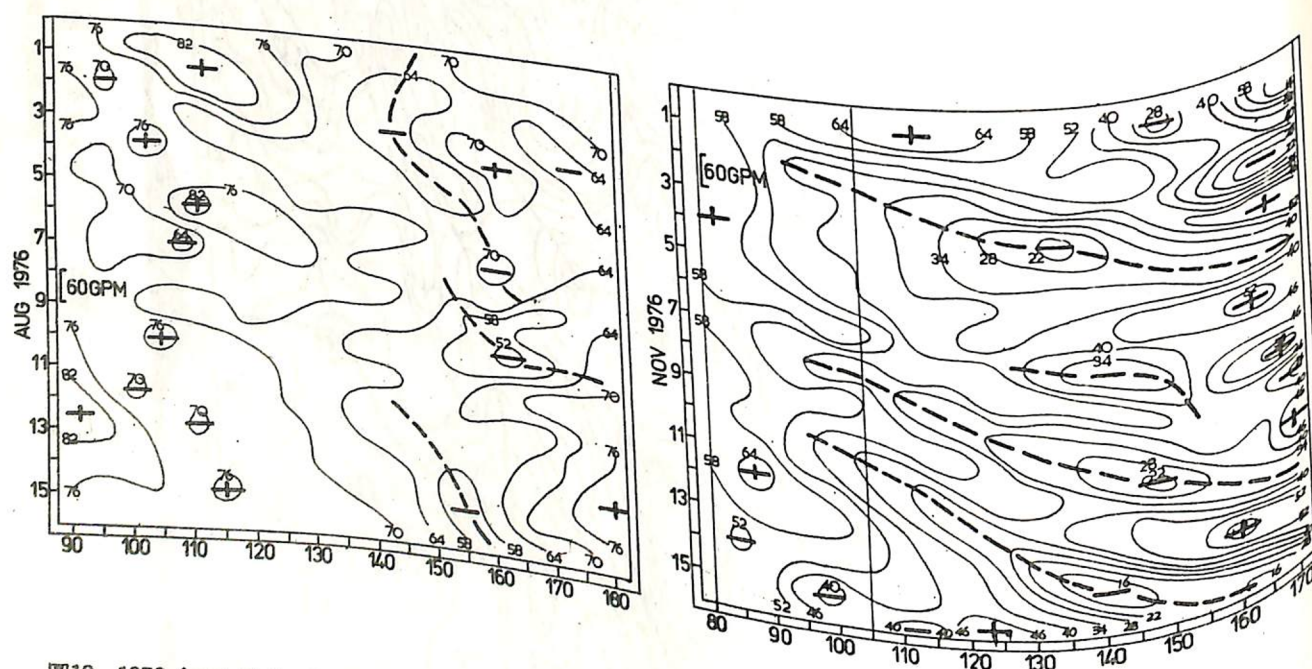


圖19. 1976年8月1~15日之圖，示仲夏之例。  
說明同圖16。

圖20. 1976年11月1~15日之圖，示秋季之例。  
說明同圖16。

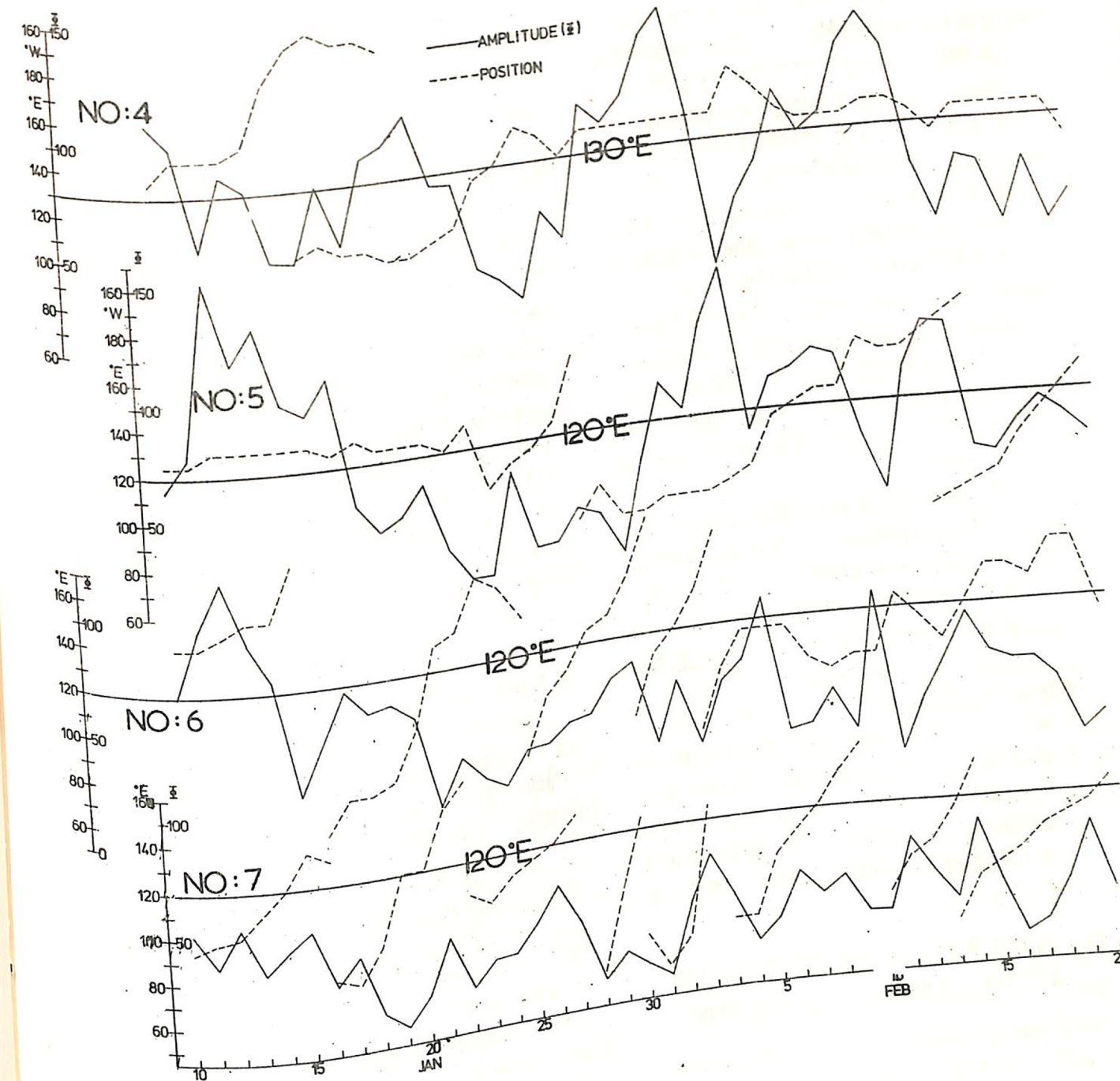


圖21. 1975年1月10日至2月20日，N=4至N=7波數之波示其在亞洲區域位置及波幅逐日變化圖。

) 之分析。

(仲冬：以元月為代表。圖16為500mb層，1975年元月全月，沿 $45^{\circ}\text{N}$ 緯線上高度變化實例。藉圖可見，就元月份一般言，槽線最易發展區域係在 $130^{\circ}\text{--}145^{\circ}\text{E}$ 之間。此因「斜壓度」係由於大陸季風（寒潮）所控制（forcing）之故。又低指標期間（1—18日）槽線較諸高指標時（19—31日）更易發展（參見圖1）。另外，略於 $180^{\circ}\text{E}$ 附近亦有一槽線發展帶。此實際為 $N=1$ 之波發展區。而前者為 $N=2$ 波數之波之發展區。

(春季：以4月為代表。此處茲取1976年4月13—25日之圖如圖17以為例。藉圖可見較諸1月，槽線顯見減弱。沿海之槽並西退至 $120^{\circ}\text{--}130^{\circ}\text{E}$ 之間之東九省區域。此實際由本研究第二部份可見，係為 $N=4$ 之波。此係與渤海平原之日射增溫有關。另 $N=2$ 之波略在 $150^{\circ}\text{E}$ ，強制因素為來自鄂霍次克海之寒潮。另此處並附1977年5月1—9日之圖如圖18。結論與圖17者一致。

(仲夏：以8月為代表。此處茲附1976年8月份之圖如圖19。藉圖可見，此時有最弱之氣壓梯度，槽脊強度均弱。主槽滯留於 $150^{\circ}\text{E}$ 線上。比較第二部份研究，可知此為 $N=2$ 之波東移之結果。強制因素同春季，為鄂霍次克海衝出之寒潮（polar air outbreak）。

(秋季：此處茲以圖20之1976年11月1—15日之圖作為討論依據。藉圖可見主槽又復活躍於亞洲海岸區，一般均為移動性者。並可見一般均向西可追溯至 $100^{\circ}\text{E}$ ，其週期約3—4天。此槽線實際為 $N=2$ 超長波之波槽。係於仲夏東移後，復回退至亞洲沿海者（參見第二部份之圖2）。

## 六、由傅氏分析法所示亞洲區域500mb層 $45^{\circ}\text{N}$ 線上移動性洛士貝波動之特性

此處所謂移動性洛士貝波動（transient Rossby waves），在冬半年係指波數在 $4\text{--}7$ （ $N=4, 5, 6, 7$ ）間之高空波動而言。延用之資料，為求與第二部份研究一致，亦係採用1975年1—2月份。圖21a-d 所示則為該時期中1月10日至2月20日， $N=4, 5, 6, 7$ 波數之波於亞洲部份逐日位置及波幅大小變化圖。以下為就該圖所作之簡單分析。

### (一) 波數為4 ( $N=4$ ) 之波

與第二部份  $N=1, 2$  及3超長波比較， $N=4$ 及以上之波動，顯具移動之性質。藉圖21a可見，在亞洲部份波槽之一係在沿海。一般言移速甚緩，半數時間，均屬滯留。其強度（波幅或擾動動能）在所附之例中，有三次最大，其中兩次均係在沿海（約 $140^{\circ}\text{E}$ ）時最强。另一次係在 $95^{\circ}\text{E}$ 附近最强，時間為1月19—21日。核驗該數日實際之500mb圖亦支持該項事實。

### (二) 波數為5 ( $N=5$ ) 之波

一般言，其移速亦甚緩，半數時日係屬滯留。其平均波槽位置頗見變化。一般言，在亞洲區域平均脊線之處（ $90^{\circ}\text{--}110^{\circ}\text{E}$ ），有最著之槽線移速。其強度有兩次最大，其一係在1月12—17日，槽線位置在 $130^{\circ}\text{E}$ 。該一時日，區域環流指標有最低值（參見圖1）。此相當於在地面圖為強環流，即有明顯之寒潮南下之時。特以15—17日有極明顯之台灣波發展。次強之高峯係在2月3—4日。槽線位置係在 $85^{\circ}\text{--}90^{\circ}\text{E}$ 處。在實際之500mb圖上，甚至在700mb圖上，均可明顯見出。

### (三) 波數為6 ( $N=6$ ) 之波

$N=6$  波數之波，主要均為移動性者，此為與上述  $N=4$  及  $N=5$  之波明顯不同處。另其波幅亦較  $N=4, 5$  之波者為小。波幅最大僅出現一次，係在元月 12 日，當該波槽移至亞洲沿海之時。證諸圖1，實際係與低指標環流出現時一致，該時有最南之寒潮位置。

### (四) 波數為7 ( $N=7$ ) 之波

本波亦同  $N=6$  者，屬移速頗大之波動。其波幅與上述各波比較屬最小者。且變動幅度亦較小。另外其與專為亞洲區域設計之「區域環流指標」（王時鼎1975）之變動關係，亦不若波數為4—6者之顯著。

由上討論略可見，就移速言，波數愈大（波長愈短），移速愈大。以及波之發展則均與寒流爆發及低指標環流（即南北向環流）出現有關。因此時有最大之可用位能釋出，而此等波數之波，有最高機會以擡取可用位能（APE）也（蔡清彥與高仕功1977）。

## 七、亞洲及美洲高空波動最重要之強制（forcing）因素比較

此處茲就中緯度影響高空波動最重要之兩項控

制因素略作比較討論。一為上述重力位趨勢方程之第二項，即冷暖平流，在此處主要係為陸海分佈所造成者。另一為美洲與亞洲之不同「大地形」，此項因素之強制作用在相當正壓模式（Equivalent barotropic model）之公式中亦可見出。以下茲分別討論之。

(一) 陸海作用——此處僅就上述冷暖平流之強制因素作一討論。在亞洲及美洲之東，雖同濱海洋，但以中國之主要山脈均為東西走向，而美國為南北走向。致亞洲蒙古可產生廣大「寒潮性」之極地高壓，而在美洲則否。是以美國無連續持久之强大寒流。因此由重力位趨勢方程（geopotential tendency equation）之強制項（forcing term），亦即冷暖平流項之影響，則遠不若亞洲之顯著。故亞洲區域有全球最著之沿海主槽（此可參見圖16）與噴射氣流（Petterssen, 1956）。此為不同點之一。

(二) 大地形影響——此處主要係指亞洲之西藏高原及美洲之洛磯山而言。由相當正壓模式可見，在山脈之下風方面均可引起相對渦旋之增加，亦即成槽作用（troughing effect）。但由於兩者型式不一，緯度高低不同，故在亞洲區域冬半年西藏高原最大影響係為造成西風帶之分支（王時鼎1977）。但在美洲之洛磯山脈，却為造成其東側明顯之滯留性主槽，並約在 $90^{\circ}\text{--}80^{\circ}\text{N}$ 處，有最大之強度（參見圖16）。另外此處並以美國氣象局所印製之北半球天氣圖，就1957—1959年11月至2月之500mb圖作過調查。其中32次高空槽均整體越過洛磯山脈，突裂成南北兩支槽線者，僅有6次。而亞洲西藏高原之影響，上已述及最主要者為使西風分支，因此亦即言，其對西風槽最大影響為使槽線「突裂」。甚少有南北兩支西風之槽線相位相同者。

## 八、吳、鄭「高空大天氣型」之物理機制討論

由於大氣環流主要係受日射，地球公轉，自轉及大規模之地形與陸海分佈等所制約（constraint）。季節性及緯度性之差異增溫（differential heating），決定了地球帶流（zonal flow）與波動（oscillation）之強度。而大規模之地形與陸海分佈則決定個別地區之環流特徵。由於其彼此作用之複雜性，是以為期兩天以上之中期預報，天氣型分類法預期將始終擔負其無可替代之角色。以言高空天氣圖型式之分類，頭緒繁縝。但無可否認的，前在國科會支助下，吳宗堯與鄭俠所作冬季歐亞區域之高空大天氣型（1975），無疑地必將受識者所特別重視。由於最常及最穩定之天氣型式（有代表性之天氣型）必將有其顯著之物理機制（physical mechanism），故此處擬就上述有關亞洲區域高空波動特性分析與吳、鄭類型關係，略作討論。

吳、鄭高空大天氣型最顯著特徵，係將高緯及中緯分別作出天氣型之分類。計各分8類。而後再合而為一。此處縮小範圍僅討論中緯者。就物理機制言，吳、鄭該8類天氣型，可歸納為：

(一) 與西藏高原阻擋有關者——B型（西方深波型），C型（橫槽型）及E型（割離低壓型），主要均係受西藏高原之對西風槽阻擋影響所造成。故所謂深槽，橫槽及割離低壓（cut off low），幾均略出現於相同位置，即在西藏高原西側之 $60^{\circ}\text{E}$ 經度處（參見原文圖1—8）。有關其生成，筆者曾於「西藏高原對高空西風帶中擾動之影響」（1977a）文中，加以初步分析。主要係由於阻擋（blocking）影響。亦即該文所謂高原對西風槽之「摺折」（folding）作用中的三個標準階段（原文圖14及圖15）。因吳、鄭八類型式中，上述者則佔三類，故可見西藏高原對歐亞區域西風擾動影響之重要性。同時，吳、鄭在高空大天氣型之轉變一節討論中，可見最重要之轉變即出現於上述三類者之間。茲引述如次：「以中緯而言，B型以轉E型最多（各英文代號見上述），計有8次之多。其次為E型轉為A型（高指標小槽型），計有7次。再次為A型轉為B型，B型轉為A型及C型轉為E型各有6次」。故可見就天氣型之分類言，西藏高原對亞洲波動影響之絕對重要性。

(二) 與環流指標有關者——A型（中緯小槽）及D型（兩槽一脊，槽線一在亞洲沿海，一在中亞），實際代表亞洲區域高指標（high index）及低指標（low index）環流之標準型式。又F型（三波型）亦為高指標型。有關該環流指標型式與高空波動關係，筆者在本文第二節中有較詳細討論，並可參看圖2與圖6。而環流指標變化吾人感知主要係由於高低緯度之差異增溫造成，但實際造成亞洲區域低指標者為亞洲「極地高壓」季風環流之強制力。故代表

低指標之深槽係出現於亞洲東海岸區（並可參見本研究之第一部份與第二部份）。

(3)與西藏高原分流影響有關者——H型（南方小槽），A型，B型，C型，E型。

故由上分析可見吳、鄭8型中緯高空天氣型中，僅G型（歐洲阻塞）外，其餘7型之物理機制均與亞洲大規模地形及海陸分佈有關。此亦為分類適切之常見「天氣型」必具之特性。

## 九、結論

有關本方面問題，此處係採重點討論，結論如下：

(1)就所設計之亞洲「區域環流指標」作為衡量標準下，可發現高空波動可分兩類，即：

(a)高指標環流下，高空波動波幅小，波長短，移速快。波過一地（在中緯度）之週期以3天為佔勢。

(b)低指標環流下，高空波動波幅大，波長長，移速緩，特以在亞洲東海岸處，波動有向南之移速。波過一地之週期以7—8天為佔勢。故可見第一部份波譜分析所示兩類週期，恰與此處高低指標（數）情形下，波動週期相一致。

(2)上述兩類波動之轉變，可發現係在亞洲東海岸進行。如高空槽移至沿海時，在地面層沿海區有氣旋波動發展，其後並伴有顯著冷源（寒潮高壓），則可由第一類波動（高指標時）轉為第二類波動（低指標者）。

(3)就「熱源」觀點言，亞洲區由冬轉夏，及由夏轉冬，高空環流顯受兩完全不同之熱源所控制。由冬轉夏，即於5—6月間，中國區呈雙熱源分佈。其一為低緯度者。另外西藏高原、塔里木盆地至華北黃土高原一帶亦成熱源。此項結果，使高空西風穩定分為兩支，並各伴隨有地面低壓之活動。南支者亦即所謂「梅雨低壓」。至秋間，熱源主要為西藏高原及其北之塔里木盆地。此項結果為使天山山脈以北地區等溫線集中，因此而使該區有最大之高空風速。低層鋒面活動亦較著。

(4)亞洲海岸區之效應對高空波動影響，中緯與低緯顯有不同。在低緯由於溫度分佈均勻，一般均係使波槽減弱。此處係以 $30^{\circ}\text{N}$ 線上波動之時間剖面圖以求證之。

(5)為決定波槽強度控制（forcing）因素與季節及地域之關係，此處特設計沿特定緯度線（ $45^{\circ}\text{N}$ ,  $30^{\circ}\text{N}$ ）不同經度上波動之時間剖面圖（參見圖16—20）。藉之可見，亞洲區各季節波槽盛行位置均有不同，其控制因素並經討論。

(6)就傅氏分析法對1975年1—2日（本篇參用資料最多之兩月）， $N=4$ 至7之波動逐日動態及波幅變化所作分析，可見上述各波之加深，主要均與冷空氣潰流有關。另並可見波長愈短，波幅愈小，同時向東之相速亦愈大。

上述大部份調和波發展時，在天氣圖上均可見其反映（例如參見圖1日本北海道401測站500mb層上之高度變化圖）。

(7)亞洲及美洲高空波動強制（forcing）因素最主要不同點為：在亞洲特以中國，主要山脈均為東西走向，故冬季有最强冷高壓與冷空氣潰流（polar air outbreak）。是以在亞洲東海岸亦有最著之高空槽線，及噴射氣流。另外為西藏高原與洛磯山之不同。前者對高空氣流及波動主要為阻擋及分流效應，後者為動力槽脊之效應，且槽線過山甚少折裂。

(8)經調查吳、鄭「高空大天氣型」之物理機制可見，其中緯度所作之八類天氣型中，與西藏高原阻擋影響有關者，計3型，即：B型、C型及A型（根據吳、鄭原編號），與西藏高原分流影響有關者，有5型，即：H、A、B、C、E型。直接與環流指標（數）有關者有三型，即A、D、F型。計8型中，僅G型（歐洲阻塞）外，均係由於亞洲區域地形或陸海效應之制約（constraint）。

# 藉綜觀及統計分析對亞洲區域※

## 高空波動特性之研究

王 時 鼎

Characteristics of the Upper Air Wave  
Disturbances over Asia as Revealed by  
Synoptic and Statistical Analysis

Shih-Ting Wang

### Abstract

This report is the third part of the study of the upper air circulation and wave disturbances. The first part is "the upper air circulation in Asia" and the second part is "the nature of the orographic disturbances caused by the Tibetan Plateau". In the present study, five topics are emphasized. However, here only the third topic is presented.

In this study we examined the sector circulation index (S.C.I.) for the upper air flows, the influences of seasonal changes in heat source and sink on the upper air circulation, the preferred location for the formation and development of upper disturbances, the characteristics of waves of numbers 4-7 in winter, the dominant forcing factors of upper air wave disturbances in Asia, and physical mechanism of the Eurasian upper air flow patterns. The principal results we found are that: (1) classification of upper wave disturbances is possible by the S.C.I. designed for this area. (2) the differential heating caused by orography in Asia plays a completely different role to the Asian circulation patterns in autumn and spring seasons. (3) the seasonal variation of the preferred regions for formation and development of upper waves are well documented by specially designed time cross section diagram. (4) three principal physical mechanisms for upper wave disturbances in Asia are to be found, i.e.: the blocking and deflecting effects of the Tibetan Plateau, and the cycle of the S.C.I.

※本文為國科會獎助計劃之一部份。